

نانوکامپوزیت‌های هیدروژل بر پایه آلزینات حاصل از نanolوله‌های کربن و کومونومرهای آکریل آمید-ایتاکونیک اسید

غلام باقری مرندی^{*}، لیلا محمودپور شریان

کرج، دانشگاه آزاد اسلامی، واحد کرج، گروه شیمی

دریافت: ۹۰/۶/۲۱، پذیرش: ۹۰/۱۰/۱۲

مجله علوم و تکنولوژی پلیمر،
سال بیست و چهارم، شماره ۵
صفحه ۴۲۳-۴۱۳، ۱۳۹۰
ISSN: 1016-3255

چکیده

در این پژوهش، نانوکامپوزیت‌های هیدروژل بر پایه پلی‌ساقارید آلزینات به روش کوپلیمرشدن پیوندی آکریل آمید و ایتاکونیک اسید در مجاورت نanolوله کربن و با استفاده از شبکه‌ساز متیلن بیس آکریل آمید و آغازگر آمونیوم پرسولفات تهیه شدند. نمونه‌های حاصل با روش‌های طیف‌سنگی زیرقرمز، تجزیه گرمابزن‌سنگی و میکروسکوپی الکترونی پویشی ارزیابی شدند. اثر مقدار نanolوله کربن بر برخی خواص نانوکامپوزیت‌ها بررسی و مشخص شد، با افزایش مقدار نanolوله کربن در هیدروژل، سرعت جذب و تورم تعادلی در آب مقطر کاهش می‌یابد، در حالی که در محلول‌های نمکی جذب آب افزایش می‌یابد. نتایج حاصل از مطالعه ظرفیت نگهداری آب نیز نشان داد، وارد شدن نanolوله کربن منجر به افزایش ظرفیت نگهداری آب در گرما و زیربار می‌شود. افزون بر این، امکان جذب یون (II) Cd در هیدروژل بررسی و مشخص شد، وارد کردن نanolوله‌ها در ساختار هیدروژل سبب افزایش ظرفیت جذب یون کادمیم نسبت به نمونه فاقد نanolوله کربن می‌شود. بدین ترتیب، هیدروژل‌های تهیه شده می‌توانند به عنوان جاذبهای سریع و دارای قدرت جذب زیاد برای فرایندهای حذف یون (II) Cd از منابع آلوده استفاده شوند.

واژه‌های کلیدی

نانوکامپوزیت هیدروژل،
آلزینات،
نانولوله کربن،
تورم، کادمیم

* مسئول مکاتبات، پیام‌نگار:
marandi@kiau.ac.ir

مقدمه

در تهیه نانوکامپوزیت‌های پلیمری دارند. این مواد از جمله به عنوان تقویت‌کننده کامپوزیت‌ها استفاده می‌شوند. زیرا، نانولوله‌های کربنی در تقویت زمینه‌های پلیمری بسیار مؤثر عمل می‌کنند و با توجه به چسبندگی در فاز مشترک بین نانولوله و ماده زمینه آثار تقویتی نانولوله کربن بیشتر خواهد بود. استفاده از نانولوله‌های کربن در تشکیل نانوکامپوزیت‌های هیدروژل افزون بر بهبود خواص مکانیکی و گرمایی منجر به اصلاح برخی خواص دیگر مثل افزایش رسانایی الکتریکی [۱۵]، خواص نوری بهبود یافته [۱۶] و قابلیت کاربرد بیشتر هیدروژل‌های مزبور در حوزه‌های پزشکی [۱۷، ۱۸] شده است.

پلی‌ساکاریدها از متداول‌ترین مواد در تهیه هیدروژل‌های پایه طبیعی هستند. آژینات پلی‌ساکاریدی طبیعی است که از جلبک قهقهه‌ای سارگاسوم استخراج می‌شود و متشکل از مونومرهای D β -مانورونیک اسید و La-گلورونیک اسید است که در طول زنجیر خطی با الگوی نامنظم تکرار می‌شوند. آرایش نامنظم در طول زنجیر این پلیمر ناشی از اختلاف در مقدار و توالی توزیع مونومرهاست. سدیم آژینات (نمک اسید آژینیک) متشکل از گروه‌های عاملی الكلی، اتری و کربوکسیلات است.

در این پژوهش، از کوپلیمرشدن پیوندی مونومرهای آکریل آمید و ایتاکونینیک اسید بر زنجیرهای آژینات با استفاده از نانولوله کربن و بدون آن نمونه‌های هیدروژل سنتز و اثر مقدار نانولوله بر برخی خواص نمونه‌های حاصل از جمله مقدار تورم در محلول‌ها و شرایط متفاوت و نیز مقدار جذب یون کادمیم مطالعه شده است.

تجربی

مواد

آژینات با وزن مولکولی ۵۰۰۰۰، ایتاکونینیک اسید، آکریل آمید، متیلن بیس آکریل آمید، آمونیوم پرسولفات و سدیم هیدروکسید از شرکت Merck و نانولوله کربن چند دیواره (با قطر خارجی ۱۵-۸ mm، قطر داخلی ۵-۳ mm، طول تقریبی ۵۰ μm و خلوص ۹۹/۷۶ درصد) از چین تهیه و استفاده شدند.

دستگاه‌ها

دستگاه‌های طیفسنج زیرقرمز (FTIR) مدل Perkin Elmer Precisely-100، گرماآزن سنج (TGA) مدل STA-1640 Polymer Laboratory، میکروسکوپ الکترونی پویشی (SEM) مدل Cambridge S-360، H سنج مدل Metrohm-827

هیدروژل‌های ابرجاذب پلیمرهایی با شبکه سه‌بعدی هستند که به دلیل داشتن گروه‌های عاملی آب دوست در ساختار خود قابلیت جذب و نگهداری آب و محلول‌های آبی را حتی زیر فشار دارند. اتصال‌های عرضی، عامل شبکه‌ای شدن هیدروژل‌ها سبب می‌شود که این دسته از پلیمرها در محیط‌های آبی ضمن جذب آب متورم شده اما حل نشوند [۱]. این مواد به دو گروه عمده پایه طبیعی و سنتزی دسته‌بندی می‌شوند. در انواع پایه طبیعی از پلیمرهای طبیعی همچون پلی‌ساکاریدها مانند کیتوسان [۲]، آژینات [۳]، نشاسته [۴]، سلولوز و مشتقات آن [۵] یا پروتئین‌ها [۶] نظیر ژلاتین و کلارن استفاده می‌شود. از مهم‌ترین مزایای هیدروژل‌های پایه طبیعی نسبت به پایه سنتزی زیست‌تخربی‌پذیری این مواد است. هیدروژل‌ها به دلیل داشتن خواص منحصر به فرد قابلیت کاربرد در زمینه‌های مختلف از قبیل کشاورزی، پزشکی، رهایش کنترل شده دارو، صنایع آرایشی و بهداشتی و فراوری پساب‌های صنعتی را دارند. از جمله کاربردهای گزارش شده برخی از هیدروژل‌ها، که به ویژه در سال‌های اخیر مورد توجه قرار گرفته است، استفاده از این مواد برای کاهش و حذف فلزات سنگین موجود در منابع آلاینده‌ای نظیر پساب‌های صنعتی است [۷، ۸]. با توجه به آثار مخرب زیست‌محیطی فلزات سنگینی مثل کادمیم برای سلامتی انسان و سایر موجودات زنده اهمیت موادی با قابلیت حذف یون‌های فلزات سنگین از منابع زیستی حائز اهمیت است.

هیدروژل‌های ابرجاذب به ویژه انواع پایه طبیعی با وجود داشتن قابلیت زیاد جذب آب و سیال‌های آبی از لحاظ خواص فیزیکی همچون استحکام مکانیکی و گرمایی ضعیف هستند. از این رو، در سال‌های اخیر پژوهش‌هایی برای بهبود این خواص انجام شده است که از آن جمله می‌توان به افزایش انواع خاک‌های رس [۹-۱۱] و نانولوله کربن [۱۲، ۱۳] در ساختار هیدروژل اشاره کرد. به این ترتیب، کامپوزیت‌های هیدروژل به عنوان نسل جدیدی از هیدروژل‌های ابرجاذب تولید شدند. در مواد کامپوزیتی حداقل دو فاز مجزا وجود دارد که برای تولید ماده جدیدی با خواص متفاوت نسبت به هر یک از اجزایی به کار رفته در تشکیل آن با یک‌دیگر ترکیب می‌شوند. در این میان، نانوکامپوزیت‌های پلیمری شامل یک ماتریس پلیمری و افزودنی‌هایی با حداقل یک بعد نانومتری هستند. الیاف و نانولوله کربن از جمله افزودنی‌های یک‌بعدی، انواع نانوذرات خاک‌رس و گرافیت از افزودنی‌های دو‌بعدی و نانوذرات کروی از افزودنی‌های سه‌بعدی‌اند.

نانولوله‌های کربن به دلیل ساختار، شکل، خواص فیزیکی-شیمیایی و قابلیت تغییر شکل بدون تخریب [۱۴] قابلیت زیادی

اندازه‌گیری محتوای ژل هیدروژل‌ها

برای اندازه‌گیری محتوای ژل، $g / ۰ / ۰ / ۵ / ۰$ از هیدروژل‌های تهیه شده با اندازه ذرات μm $۴ / ۰ / ۰ - ۲ / ۵ / ۰$ در mL $۲ / ۵ / ۰$ آب یون زدوده به مدت h $۷ / ۲$ متورم شدن، سپس از آب خارج و به مدت h $۲ / ۴$ داخل mL $۲ / ۵ / ۰$ متورم شدن، سپس از آب خارج و برای خشک شدن کامل در گرمخانه با دمای $۷ / ۰ ^\circ\text{C}$ به مدت h ۵ قرار گرفته است. محتوای ژل نمونه‌ها (gel content, GC) از معادله (۱) محاسبه شد:

$$GC = \frac{m_f}{m_i} \times 100 \quad (1)$$

در این معادله m_i و m_f به ترتیب وزن هیدروژل خشک و اولیه است.

اندازه‌گیری مقدار تورم هیدروژل‌ها

$g / ۰ / ۰ / ۵ / ۰$ از هیدروژل با اندازه ذرات μm $۲ / ۵ / ۰ - ۴ / ۰ / ۰$ (مش ۴۰-۶۰) به mL $۲ / ۵ / ۰$ آب مقطر (یا محلول‌های آبی) افزوده شد و برای کامل شدن جذب به مدت h ۲ در محیط قرار گرفت. نمونه‌های متورم داخل کیسه‌های چای ریخته شد و پس از گذشت min $۱ / ۵$ و خارج شدن آب اضافی، مقدار تورم تعادلی (ES) آنها با استفاده از معادله (۲) محاسبه شد:

$$ES = \frac{W_2 - W_1}{W_1} \quad (2)$$

در این معادله W_1 و W_2 به ترتیب وزن هیدروژل خشک و متورم است.

اندازه‌گیری مقدار جذب یون کادمیم

برای اندازه‌گیری مقدار جذب یون کادمیم (II)، ابتدا محلول‌های استاندارد با غلظت‌های کمتر از ppm $۱ / ۰ / ۰$ از نمک کادمیم نیترات آماده و نمودار استاندارد بر اساس غلظت و جذب تابش حاصل در دستگاه جذب اتمی تهیه شد. $g / ۰ / ۰ / ۵ / ۰$ از پودر ابرجاذب به مدت h ۲ در mL $۱ / ۰ / ۰$ محلول ppm $۱ / ۰ / ۰$ کادمیم نیترات قرار گرفت. سپس، محلول صاف شد و غلظت یون فلزی موجود در محلول زیر صافی با دستگاه جذب اتمی و با استفاده از نمودار استاندارد اندازه‌گیری شد. مقدار یون فلزی جذب شده به وسیله پلیمر را می‌توان از معادله (۳) محاسبه کرد [۸]:

$$Q = \left(\frac{C_i - C}{m} \right) V \quad (3)$$

در این معادله، Q مقدار جذب یون فلزی (mg) یون فلزی بر g هیدروژل خشک)، C_i و C به ترتیب غلظت اولیه و نهایی محلول (mg/L)، m جرم نمونه مورد استفاده (g) و V حجم محلول (L) است.

دستگاه فراصوت مدل HD 3200 Germany Bandelin، دستگاه جذب اتمی مدل Thermo-S Series و هم‌زن مغناطیسی مدل IKA-WERKE D-79219 Staupen به کار گرفته شد.

روش‌ها

ستز هیدروژل پایه (بدون نانولوله کربن)

$g / ۱ / ۰ / ۰ / ۰$ پلی‌ساکارید آژینات به همراه mL $۳ / ۵$ آب مقطر به راکتور مجهز به هم‌زن مغناطیسی منتقل و به مدت min $۴ / ۵$ در دمای $۷ / ۰ ^\circ\text{C}$ به طور یکنواخت با هم‌زن مغناطیسی هم‌زده شد تا آژینات کاملاً حل شود. سپس، g $۳ / ۳ / ۴ / ۰$ آکریل آمید حل شده در mL $۱ / ۰$ آب مقطر به همراه g $۰ / ۶ / ۶ / ۰$ ایتاکونیک اسید $۷ / ۰$ % خشی شده با سدیم هیدروکسید به این محلول اضافه شد. پس از min $۱ / ۵$ مقدار g $۰ / ۰ / ۸ / ۰$ آغازگر آمونیوم پرسولفات و g $۰ / ۰ / ۰ / ۸ / ۰$ شبکه‌ساز متیلن بیس‌آکریل آمید که هر یک در mL ۵ آب مقطر حل شده بودند، به ظرف واکنش اضافه شدند. پس از ژل شدن مخلوط، برای کامل شدن فرایند، واکنش به مدت min $۶ / ۰$ ادامه یافت. هیدروژل تهیه شده پس از رسیدن به دمای محیط داخل mL $۲ / ۰ / ۰$ اتانول به مدت h ۲ قرار گرفت تا ضمن آب زدایی مونومرهای واکنش نکرده، زنجیرهای کوتاه پلیمری و هوموپلیمرهای محلول که وارد شبکه شده ولی درگیر نشده‌اند از هیدروژل جدا شوند. سپس، هیدروژل از اتانول خارج و به تکه‌های چند میلی‌متری برش داده و در mL $۲ / ۰ / ۰$ اتانول تازه به مدت h $۴ / ۸$ قرار گرفت. تکه‌های مزبور به گرمخانه با دمای $۶ / ۰ ^\circ\text{C}$ انتقال یافته تا در مدت h ۶ به طور کامل خشک شوند.

ستز نانوکامپوزیت هیدروژل

مقادیر $g / ۰ / ۰ / ۲ / ۵$ و $g / ۰ / ۱ / ۰ / ۰$ نانولوله کربن به همراه mL $۲ / ۵$ آب مقطر به راکتور مجهز به دستگاه فراصوت (W) $۱ / ۰ / ۰$ منتقل شد. زمان لازم سپری شد تا نانولوله کربن داخل آب پراکنده و مخلوط همگنی به دست آید. سپس، g $۱ / ۰ / ۰ / ۰$ آژینات و mL $۲ / ۰$ آب مقطر به ظرف واکنش افزوده و به مدت min $۱ / ۵$ دیگر در معرض امواج فراصوت قرار گرفت. مقادیر g $۳ / ۳ / ۴ / ۰$ آکریل آمید و g $۰ / ۰ / ۶ / ۶ / ۰$ ایتاکونیک اسید $۷ / ۰$ % خشی شده با سدیم هیدروکسید به اینجا اضافه شد. پس از min $۱ / ۵$ آغازگر آمونیوم پرسولفات و g $۰ / ۰ / ۰ / ۸ / ۰$ شبکه‌ساز متیلن بیس‌آکریل آمید حل شده در mL ۵ آب مقطر، به راکتور اضافه شد. پس از مشاهده ژل شدن مخلوط، برای کامل شدن فرایند، واکنش به مدت min $۶ / ۰$ ادامه یافت. نانوکامپوزیت‌های هیدروژل تهیه شده پس از رسیدن به دمای محیط در روندی مشابه هیدروژل پایه قرار گرفتند.

نتایج و بحث

طیف سنجی زیرقرمز

ساختار نمونه‌ها با طیف سنجی زیرقرمز مطالعه شد. در شکل ۱، طیف الاف مربوط به پالی‌ساکارید آژینات است. پیک مشاهده شده در عدد موجی 3436 cm^{-1} مربوط به ارتعاش کششی گروه هیدروکسیل، پیک‌های مشاهده شده در اعداد موجی 1597 و 1416 cm^{-1} به ترتیب مربوط به ارتعاش‌های کششی نامتقارن و مقارن گروه کربوکسیلات و پیک ظاهر شده در 1126 cm^{-1} نشان‌دهنده ارتعاش کششی گروه اتری در این پالی‌ساکارید است.

در طیف مربوط به هیدروژل ابرجاذب پایه (طیف ب) پیک‌های موجود در نواحی 3438 ، 3436 و 2933 cm^{-1} به ترتیب مربوط به ارتعاش‌های کششی گروه‌های OH زنجیر آژینات، $\text{NH}-\text{آمیدی}$ و $\text{CH}-\text{CH}$ در شبکه هیدروژل است. پیک جدید در اطراف 1673 cm^{-1} مربوط به ارتعاش کششی گروه کربونیل آمیدی و پیک ظاهر شده در ناحیه 1449 cm^{-1} به ارتعاش کششی مقارن گروه کربوکسیلات نسبت داده شده است. پیک‌های مشاهده شده در نواحی 1185 و 1034 cm^{-1} ارتعاش‌های کششی گروه‌های اتری را نشان می‌دهند. همان‌طور که

محتوای ژل نمونه‌ها

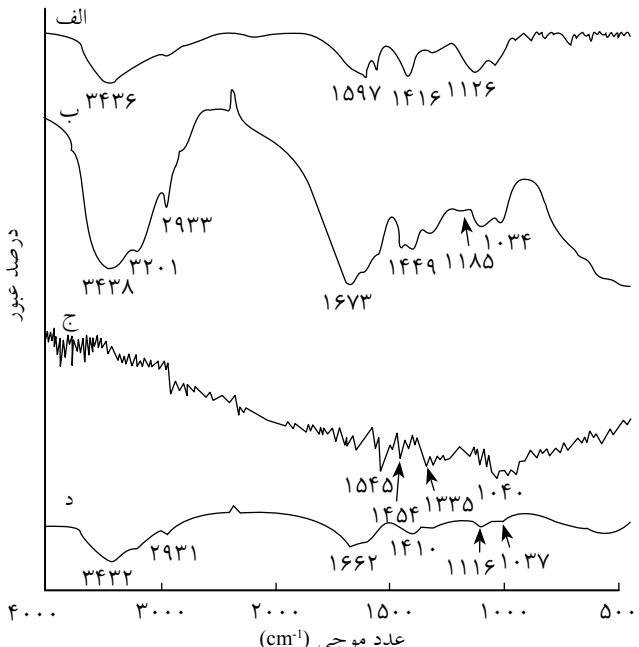
نتایج حاصل از اندازه‌گیری محتوای ژل نمونه‌های سنتز شده در جدول ۱ ارایه شده است. با افزایش مقدار نانولوله کربن در نمونه‌ها درصد ژل افزایش یافته است. پیوندهای π در نانولوله‌های کربن قابلیت تشکیل اتصال‌های عرضی بین زنجیرهای در حال رشد پلیمر را دارند. این قابلیت می‌تواند منجر به وارد شدن مقدار بیشتر مولکول‌های واکنش دهنده در شبکه پلیمری و افزایش زنجیرهای درگیر و در نتیجه افزایش محتوای ژل شود.

خواص تورمی نمونه‌ها

در جدول ۱، مقدار تورم تعادلی نمونه‌های تهیه شده C_3^* تا C_3 آمده است که به ترتیب نمونه مربوط به بدون نانولوله کربن و نانوکامپوزیت‌های ساخته شده حاوی $2/5$ ، 10 و 15% درصد نانولوله کربن است. با توجه به این جدول مقدار جذب آب با افزایش نانولوله کربنی در هیدروژل کاهش می‌یابد که علت را می‌توان به خاصیت آب‌گریزی کربن در شبکه هیدروژل نسبت داد. در اثر این عامل نانولوله‌های کربن که به شکل نامنظمی در هیدروژل توزیع شده‌اند، می‌توانند تا حدی از نفوذ مولکول‌های آب به داخل شبکه ممانعت

جدول ۱- محتوای ژل نمونه‌ها و مقدار تورم تعادلی هیدروژل‌ها.

C_3	C_2	C_1	C^*	نمونه
۸۸	۸۵	۷۹	۷۱	محتوای ژل (%)
۴۴۰	۵۰۰	۵۳۰	۵۷۵	مقدار تورم تعادلی (g/g)



شکل ۱- طیف‌های زیرقرمز: (الف) آژینات، (ب) هیدروژل پایه، (ج) نانولوله کربنی و (د) نانوکامپوزیت هیدروژل شامل 15% نانولوله کربنی (برای سهولت مقایسه، طیف‌ها در یک شکل آمده و درصد عبور نور غیرواقعی است).

جدول ۳- مقدار جذب یون کادمیم در هیدروژل‌ها.

C ₃	C ₂	C ₁	C*	نمونه
۱۹۰/۵	۱۸۹/۷	۱۸۸/۵	۱۸۳/۱	(mg/g)

نانولوله کربن در نانوکامپوزیت‌های سنتز شده مقدار جذب کادمیم افزایش یافته است. این نتیجه می‌تواند ناشی از دو عامل متفاوت باشد. اول قابلیت جذب سطحی فلز به وسیله نانولوله‌های کربنی و دوم اثر آب‌گریزی کربن به طوری که نانولوله کربنی موجود در ساختار هیدروژل سبب نزدیک شدن بیشتر گروه‌های قطبی و یونی زنجیر پلیمر با یون فلزی می‌شود که نتیجه آن برهم‌کنش‌های قوی تر و بیشتر با یون کادمیم است. با مقایسه مقدار جذب یون کادمیم نمونه‌های تهیه شده با نتایج سایر پژوهشگران (جدول ۴) به نظر می‌رسد، این نمونه‌ها قابلیت مناسب برای حذف یون فلز کادمیم را از منابع آلاینده دارند.

بررسی سرعت جذب آب در هیدروژل‌ها

سرعت جذب آب قطر در نمونه‌ها در بازه زمانی ۰-۴۰ min اندازه‌گیری شد. همان طور که در شکل ۲ مشاهده می‌شود، سرعت جذب آب نمونه‌ها در دقایق اولیه تفاوت چندانی با یکدیگر ندارد، اما پس از آن تغییرات بیشتری در سرعت جذب مشاهده می‌شود. در واقع دو عامل بر سرعت نفوذ آب در نمونه‌های دارای نانولوله اثر می‌گذارد. خاصیت موئینگی نانولوله کربن که سبب افزایش سرعت نفوذ سیال می‌شود و اثر پوششی این ماده در هیدروژل که عاملی برای ممانعت از ورود سیال است. با توجه به نمودارها به نظر می‌رسد، این دو عامل که برخلاف یکدیگر عمل می‌کنند، در دقایق اولیه تا حدی اثر یکدیگر را خشی می‌کنند، در حالی که پس از آن اثر بخششی نانولوله کربن اثر گذارتر است. هم‌چنین، این اثر در نمونه دارای مقدار بیشتری نانولوله در مقایسه با هیدروژل پایه کاهش بزرگ‌تری را در سرعت جذب آب سبب شده است. اثر پوششی جدول ۴- مقایسه نتایج سایر پژوهشگران با بررسی حاضر برای جذب یون کادمیم.

شرایط بررسی	جذب یون * (mg _m /g _h)	مرجع
غلظت ۱۰۰ ppm، مدت ۲۴ h با هم‌زدن	۲۰ حدود	[۱۹]
غلظت ۱۵۰ ppm، مدت ۲۵ h با هم‌زدن	۴۰ حدود	[۲۰]
غلظت ۱۰۰ ppm با هم‌زدن	۷۰ حدود	[۲۱]

* به ترتیب نمایانگر فلز و هیدروژل خشک است.

کنند. اثر نانولوله‌های کربن به عنوان عامل شبکه‌ساز نیز منجر به کاهش جذب آب می‌شود. بدیهی است، این آثار در نمونه C₃ با بیشترین مقدار نانولوله بزرگ تراست.

مقدار جذب نمونه‌ها در محلول‌های NaCl ۰/۱۵۰ مولار نمک‌های AlCl₃ و CaCl₂ ارزیابی شد. نتایج حاصل از این مجموعه آزمایش‌ها در جدول ۲ آمده است. نتایج مشخص می‌کند، مقدار جذب نانوکامپوزیت‌های هیدروژل نسبت به هیدروژل در محلول نمکی بیشتر بوده و با افزایش مقدار نانولوله کربن نیز این جذب بیشتر می‌شود. در واقع نانولوله‌های کربنی با یون‌های فلزی برهم‌کنش داشته و قابلیت جذب سطحی آنها را دارند و طبیعی است، با افزایش مقدار نانولوله مقدار این برهم‌کنش‌ها بیشتر شده و تجمع یونی در ماتریس کامپوزیت و افزایش اختلاف فشار اسمزی حاصل سبب افزایش جذب می‌شود.

از داده‌های جدول ۲ مشخص است، مقدار جذب در محلول‌های نمکی نسبت به آب مقطر کمتر است، زیرا اختلاف فشار اسمزی موجود بین هیدروژل و محیط خارجی که سبب جذب آب می‌شود، در محلول‌های نمکی کاهش می‌یابد. بنابراین، مقدار جذب نیز کاهش می‌یابد. اما، علت کاهش بیشتر جذب در نمک‌های چندظرفیتی اثر شبکه‌سازی این یون‌هاست که باعث افزایش اتصال‌های عرضی و در نتیجه کاهش جذب می‌شود.

قابلیت جذب یون کادمیم در هیدروژل‌های سنتز شده

در جدول ۳ نتایج مربوط به جذب یون فلزی کادمیم در انواع هیدروژل‌های سنتز شده مشاهده می‌شود. گروه‌های شیمیایی آمیدی و کربوکسیل در زنجیرهای مولکولی هیدروژل یکی از عوامل اصلی جذب یون کادمیم در مواد تهیه شده هستند. در این میان گروه ایاتاکونیک اسید به دلیل امکان تشکیل کی‌لیت با یون‌های فلزی که ناشی از وجود دو عامل کربوکسیل در این گروه است، برای جذب کادمیم نمونه‌های تهیه شده نقش بسزایی دارد. از سوی دیگر، همان‌طور که از جدول ۳ قابل تشخیص است، با افزایش مقدار

جدول ۲- مقدار جذب محلول‌های نمکی ۰/۱۵ مولار نمونه‌ها.

نمک	مقدار تورم (g/g)			
	C ₃	C ₂	C ₁	C*
NaCl	۶۷/۲	۶۴/۶	۵۶/۴	۵۱/۲
CaCl ₂	۲۲/۲	۱۸	۱۲/۷	۸/۴
AlCl ₃	۱۹/۳	۱۵/۲	۱۱/۶	۶/۸

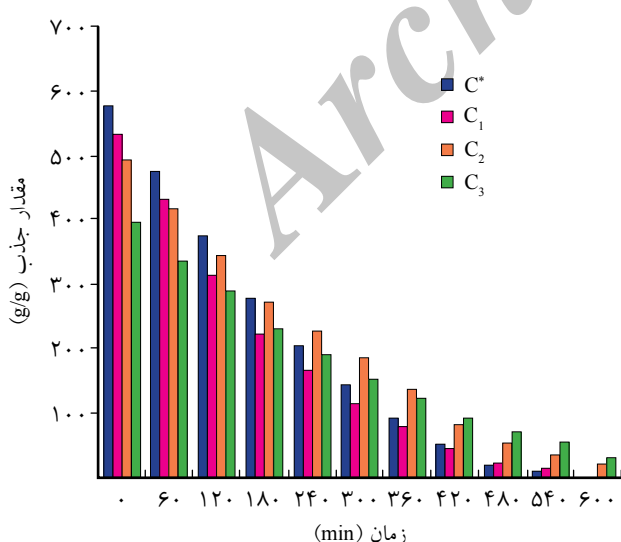
جذب بيشتری دارند، زيرا در آنها نسبت سطح به حجم بيشتر است که باعث افزایش سطح تماس و در نتيجه افزایش سرعت نفوذ آب به درون هيدروژل می شود [۲۲].

قابلیت نگهداری آب در هيدروژل های متورم

يکی از مشخصه های بارز کامپوزیت های هیدروژل قابلیت نگهداری آب جذب شده در آنهاست. به منظور بررسی این ويژگی، نمونه ها متورم شده و پس از اندازه گیری مقدار تورم، هيدروژل های متورم در گرم خانه با دمای 80°C قرار گرفتند. مقدار نگهداری آب نمونه ها به عنوان تابعی از زمان بررسی شد. همان طور که در نمودارهای شکل ۳ مشاهده می شود، با افزایش مقدار نانولوله زمان بيشتری برای خروج آب از نمونه مورد نياز است. با آن که نمونه C_3 كمترین مقدار تورم اوليه را دارد، در دمای 80°C پس از سپری شدن زمان گرمادهی نمونه های متورم، آب بيشتری را در خود حفظ كرده است. در اينجا نيز وجود نانولوله های كربني در هيدروژل سبب افزایش مقدار بپوند هيدروژنی بين مولکول های آب و گروه های قطبی هيدروژل شده و بنابراین گسيختگی اين پيوند ها در دمای مزبور نياز به زمان بيشتری دارد. از سوي ديگر، بخشی از انرژي گرمایي اعمال شده به وسیله نانولوله های كربن جذب می شود.

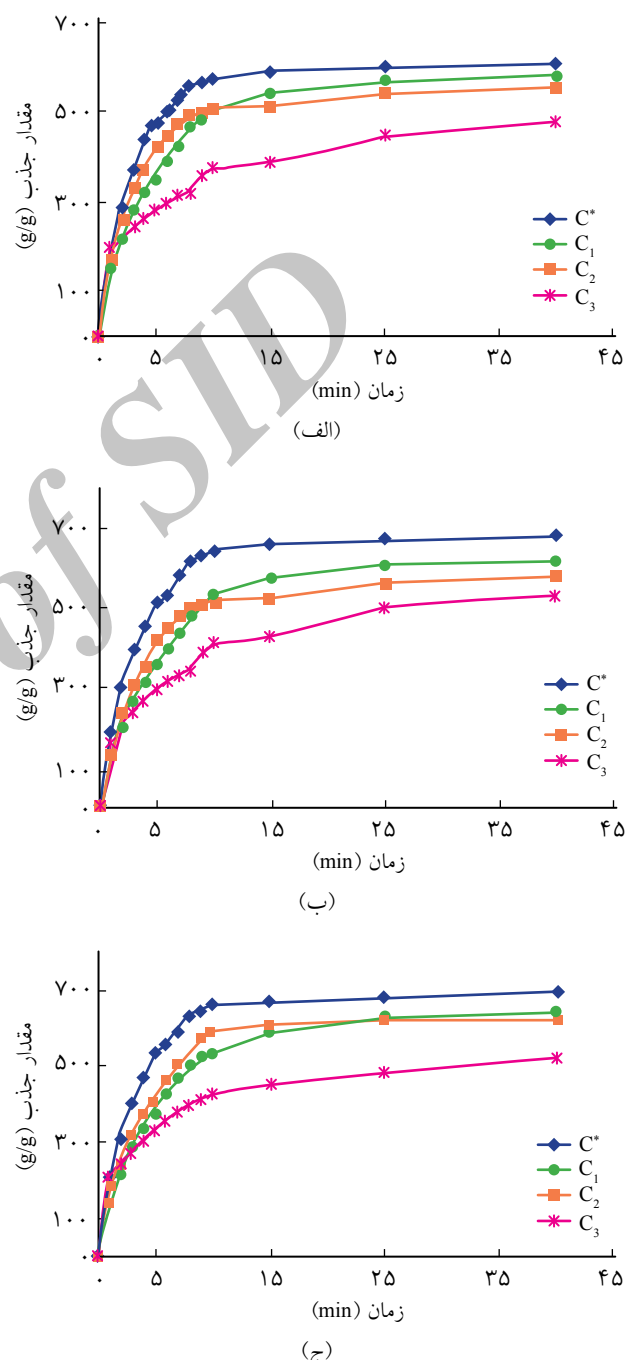
بورسي رفتار تورم - واتورم نمونه ها

در اين مجموعه از آزمایش ها نمونه های رسانده شده به تورم تعادلی

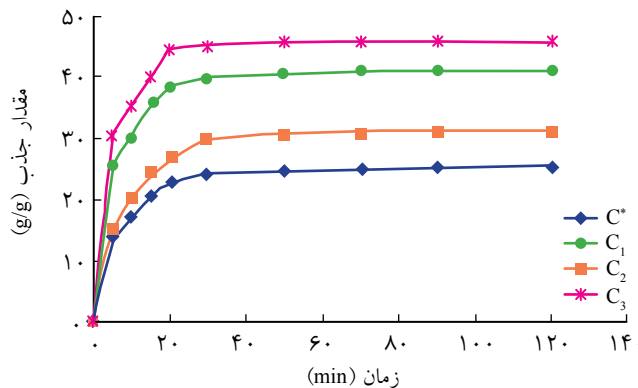


شكل ۳- ظرفیت نگهداری آب در نمونه ها بر حسب زمان در دمای 80°C (C^* نمونه فاقد نانولوله كربني و C_1 تا C_3 به ترتیب نمونه های دارای $2/5$ ، 10 و 15 درصد نانولوله كربني هستند).

نانولوله های كربن در ورود آب برای سایر هيدروژل های شامل اين ماده نيز گزارش شده است [۱۷]. مقایسه سرعت جذب آب مقطر در نمونه ها با اندازه ذرات مختلف نشان می دهد، ذرات ريزتر سرعت



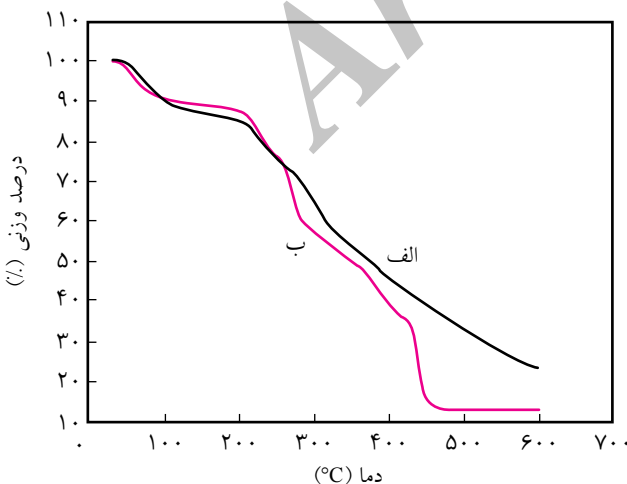
شكل ۲- سرعت جذب آب مقطر در نمونه ها: (الف) با مش $20-40^{\circ}\text{C}$ ، (ب) با مش $60-80^{\circ}\text{C}$ با مش C^* (نمونه فاقد نانولوله كربني و C_1 تا C_3 به ترتیب نمونه های دارای 10 ، 15 درصد نانولوله كربني هستند).



شکل ۵- جذب محلول نمکی $0.9\% \text{NaCl}$ در نمونه‌ها زیر فشار 137 Pa (نمونه فاقد نانولوله کربنی و C_1 تا C_3 به ترتیب نمونه‌های دارای $2/5$ ، 10 و 15 درصد نانولوله کربنی هستند).

گرمایزن سنجی

در شکل ۶ گرمانگاشتهای هیدروژل پایه و نانوکامپوزیت هیدروژل با نسبت 15% وزنی نانولوله کربنی به آژینات نشان داده شده است. تجزیه شدن نانوکامپوزیت مزبور از دمای 181°C آغاز شده و در دمای 246°C استحکام گرفته است و دوباره از دمای 315°C شروع به تجزیه شدن می‌کند و این تجزیه در دمای 489°C پایان می‌یابد. بیشترین مقدار تجزیه شدن در دمای 417°C اتفاق افتاده است، در حالی که دمای تجزیه شدن هیدروژل از 178°C آغاز شده و در دمای 264°C خاتمه یافته است و بیشینه دمای تجزیه شدن آن 358°C است. نانولوله‌های کربن با توجه به پایداری گرمایی زیاد با جذب بخشی از انرژی گرمایی اعمال شده در نمونه نانوکامپوزیتی منجر به افزایش پایداری گرمایی این نمونه می‌شوند.

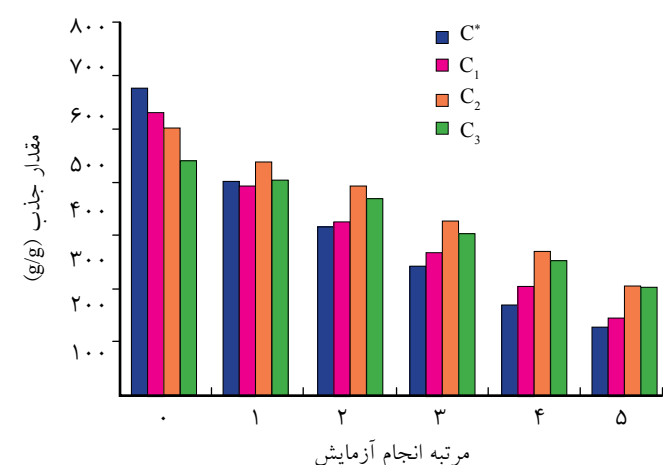


شکل ۶- نمودارهای گرمایزن سنجی: (الف) هیدروژل پایه و (ب) نانوکامپوزیت شامل 15% وزنی نانولوله کربنی.

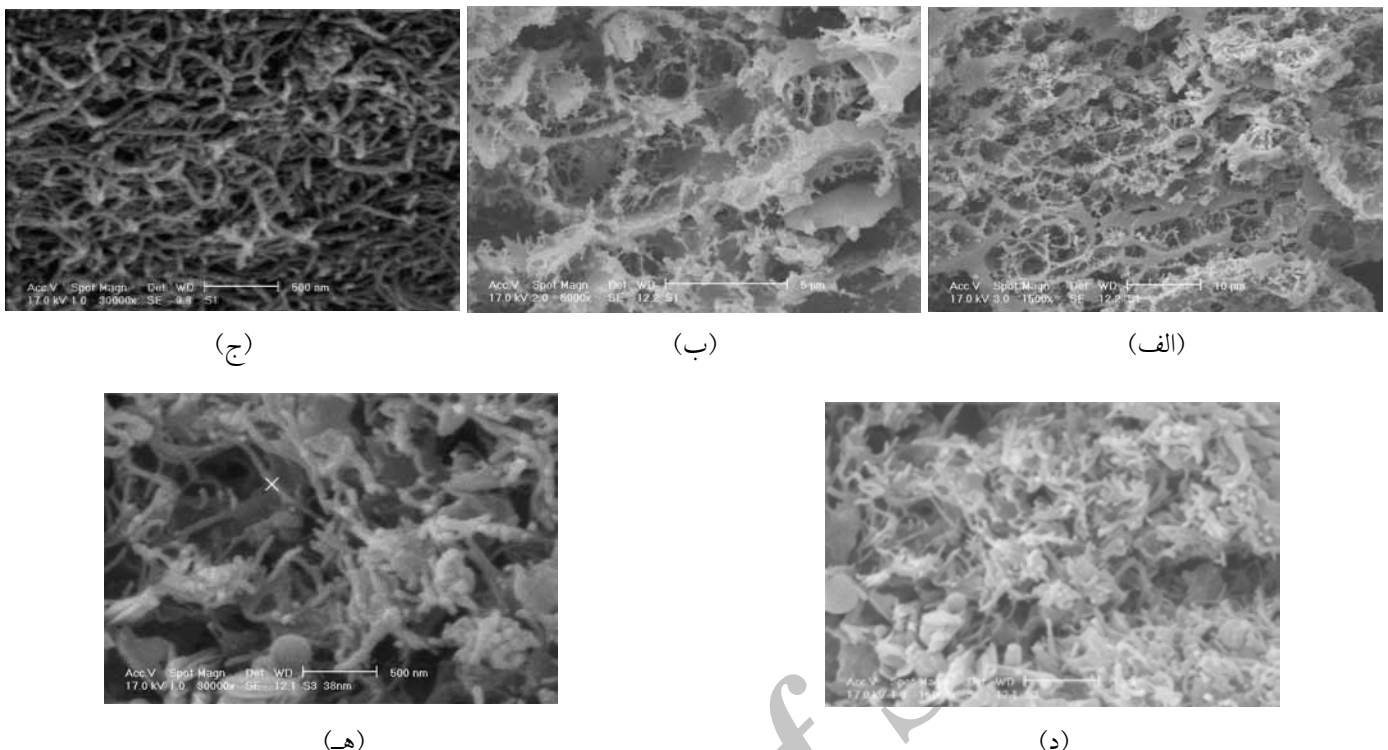
(مرتبه صفر آزمایش)، در دمای 100°C متتحمل و اتورم شده و سپس نمونه‌های خشک حاصل دوباره به بیشینه مقدار جذب رسانده می‌شوند. نتایج تکرار این فرایند برای 5 مرتبه در نمودارهای شکل ۴ مشاهده می‌شود. نمونه C^* (هیدروژل بدون نانولوله‌های کربن) پس از 5 مرتبه اتورم - اتورم در دمای مزبور، قابلیت جذب 22% از کل ظرفیت جذب آب اولیه را دارد. در حالی که C_3 (نانوکامپوزیت با بیشترین مقدار نانولوله کربنی) قابلیت جذب 46% از کل ظرفیت جذب اولیه را دارد. این نتایج به خوبی اثر نانولوله‌های کربن در افزایش پایداری گرمایی و کاهش تخریب نمونه‌های هیدروژل را نشان می‌دهد.

مقایسه رفتار تورمی نمونه‌ها زیر بار

برای مطالعه قابلیت جذب محلول‌های آبی نمونه‌های زیر فشار، مقدار 200 g از پودر هیدروژل‌ها روی سطح بافت توری از جنس پلی استر پراکنده شد و روی صافی ریزمتخلخل قرار گرفت. این مجموعه به ظرف حاوی محلول نمکی $9.0\% \text{NaCl}$ کلرید اضافه شد و زیر بار با فشار 137 MPa قرار گرفت [۲۳]. مقدار جذب محلول نمکی نمونه‌ها به طور سیستیکی در مدت 20 min اندازه گیری شد. ارزیابی نمودارهای شکل ۵ نشان می‌دهد، با افزایش مقدار نانولوله کربن استحکام هیدروژل‌ها افزایش می‌یابد، زیرا با ورود این ماده در ماتریس هیدروژل امکان تشکیل پوشش بلوری اطراف نانولوله افزایش می‌یابد و بیشینه فشار بین‌وجهی به نانولوله وارد و در نتیجه استحکام مکانیکی نمونه نیز زیاد می‌شود.



شکل ۷- تورم - اتورم نمونه‌ها در دمای 100°C (نمونه فاقد نانولوله کربنی و C_1 تا C_3 به ترتیب نمونه‌های دارای $2/5$ ، 10 و 15 درصد نانولوله کربنی هستند).



شکل ۷- تصاویر میکروسکوپ الکترونی پویشی: هیدروژل پایه (الف) با بزرگنمایی $10 \mu\text{m}$ و (ب) با بزرگنمایی $5 \mu\text{m}$ ، (ج) نانولوله‌های کربنی با بزرگنمایی 500 nm و نانوکامپوزیت هیدروژل با مقدار 15% نانولوله کربنی (د) با بزرگنمایی $1 \mu\text{m}$ و (ه) با بزرگنمایی 500 nm .

نانوکامپوزیت‌هایی می‌شود که نسبت به هیدروژل بدون نانولوله کربنی دارای گرمایی و قابلیت نگه‌داری آب بیشتر است و از تورم مناسب‌تری در محلول‌های نمکی برخوردارند. سرعت جذب و مقدار تورم تعادلی در آب مقطر برای نانوکامپوزیت‌های هیدروژل کمتر از هیدروژل پایه است. دلیل این امر خاصیت آب‌گریزی و اثر پوششی نانولوله‌های کربنی است. همه نانوکامپوزیت‌های حاصل نسبت به هیدروژل پایه قابلیت بیشتری برای حذف یون کادمیم دارند، طوری که از آنها می‌توان به عنوان موادی برای کاهش غلظت این فلز سمی در منابع آلوده به این فلز استفاده کرد.

قدرتانی

از معاونت محترم پژوهشی دانشگاه آزاد اسلامی، واحد کرج برای حمایت مالی از این طرح پژوهشی تشکر و قدردانی می‌شود.

تصاویر میکروسکوپی الکترونی پویشی

تصاویر میکروسکوپ الکترونی پویشی حاصل از نمونه هیدروژل پایه، نانولوله‌های کربن و نمونه شامل 15% نانولوله کربنی در شکل ۷ مشاهده می‌شود. در سطح هیدروژل پایه حفره‌هایی مشاهده می‌شود که عاملی برای سرعت جذب خوب این ماده است. از تصاویر مربوط به نانوکامپوزیت نیز قابل تشخیص است که نانولوله‌های کربن در ساختار هیدروژل وارد شده‌اند.

نتیجه‌گیری

کوپلیمرشدن پیوندی پلی‌ساقارید آلزینات و مونومرهای آکريل آمید و ایتاکونیک اسید در مجاورت نانولوله‌های کربن منجر به تشکیل

مراجع

- Zohuriaan-Mehr M.J. and Kabiri K., Superabsorbent Polymer Materials: A Review, *Iran. Polym. J.*, 17, 451-477, 2008.
- Mahdavinia G.R., Pourjavadi A., Hosseinzadeh H., and Zohuriaan M.J., Modified Chitosan 4. Superabsorbent Hydrogels

- from Poly(acrylic acid-*co*-acrylamide) Grafted Chitosan with Salt and pH-reponsiveness Properties, *Eur. Polym. J.*, **40**, 1399-1407, 2004.
3. Bagheri Marandi G., Sharifnia N., and Hosseinzadeh H., Synthesis of an Alginate-Poly(sodium acrylate-*co*-acrylamide) Superabsorbent Hydrogel with Low Salt Sensitivity and High pH Sensitivity, *J. Appl. Polym. Sci.*, **101**, 2927-2932, 2006.
 4. Li X., Xu S., Pen Y., and Wang J., The Swelling Behaviors and Network Parameters of Cationic Starch-*g*-Acrylic Acid/Poly(dimethyldiallyl ammonium chloride) Semi-Interpenetrating Polymer Networks Hydrogels, *J. Appl. Polym. Sci.*, **110**, 1828-1836, 2008.
 5. Suo A., Qian J., Yao Y., and Zhang W., Synthesis and Properties of Carboxymethyl Cellulose-*g*-Poly(acrylic acid-*co*-acrylamide) as a Novel Cellulose-based Superabsorbent, *J. Appl. Polym. Sci.*, **103**, 1382-1388, 2007.
 6. Zohuriaan-Mehr M.J., Pourjavadi A., Salimi H., and Kurdtabar M., Protein- and Homo Poly(amino acid)-based Hydrogels with Super-Swelling Properties, *Polym. Adv. Technol.*, **20**, 655-671, 2009.
 7. Hassine K., Durmus A., and KasgÖz A., Enhanced Swelling and Adsorption Properties of AAm-AMPSNa/Clay Hydrogel Nanocomposites for Heavy Metal Ion Removal, *Polym. Adv. Technol.*, **19**, 213-220, 2008.
 8. Zhau L. and Mitomo H., Adsorption of Heavy Metal Ions from Aqueous Solution onto Chitosan Entrapped CM-Cellulose Hydrogels Synthesized by Irradiation, *J. Appl. Polym. Sci.*, **110**, 1388-1395, 2008.
 9. Bagheri Marandi G. and Hosseinzadeh H., Gelatin-*g*-Poly(Sodium Acrylate-*co*-Acrylmide)/Kaolin Superabsorbent Hydrogel Composites: Synthesis, Characterization and Swelling Behaviour, *Polym. Polym. Compos.*, **15**, 395-402, 2007.
 10. Xie Y. and Wang A., Study on Superabsorbent Composites XIX. Synthesis, Characterization and Performance of Chitosan-*g*-Poly(acrylic acid)/Vermiculite Superabsorbent Composites, *J. Polym. Res.*, **16**, 143-150, 2009.
 11. Mahdavinia G.R., Bagheri Marandi G., Pourjavadi A., and Kiani G., Semi-IPN Carrageenan-based Nanocomposite Hydrogels: Synthesis and Swelling Behavior, *J. Appl. Polym. Sci.*, **118**, 2989-2997, 2010.
 12. Chatterjee S., Leeb M.N., and Wooa S.H., Enhanced Mechanical Strength of Chitosan Hydrogel beads by Impregnation with Carbon Nanotubes, *Carbon*, **47**, 2933-2939, 2009.
 13. Li M., Kim H., and Jeong Y.G., Cellulose Acetate/Multiwalled Carbon Nanotube Nanocomposites with Improved Mechanical, Thermal, and Electrical Properties, *J. Appl. Polym. Sci.*, **118**, 2475-2481, 2010.
 14. Meyyappan M., *Carbon Nanotubes: Science and Applications*, CRC, Boca Raton, FL, 237-276, 2005.
 15. MacDonald R.A., Voge C.M., Kariolis M., and Stegemann J.P., Carbon Nanotubes Increase the Electrical Conductivity of Fibroblast-Seeded Collagen Hydrogels, *Acta Biomater.*, **4**, 1583-1592, 2008.
 16. Barone P.W., Yoon H., Ortiz-Garcia R., Zhang J., Ahn J.H., Kim J.H., and Strano M.S., Modulation of Single-Walled Carbon Nanotube Photoluminescence by Hydrogel Swelling, *ACS NANO*, **3**, 3869-3877, 2009.
 17. Li H., Wang D.Q., Chen H.L., Liu B.L., and Gao L.Z., A Novel Gelatin-Carbon Nanotubes Hybrid Hydrogel, *Macromol. Biosci.*, **3**, 720-724, 2003.
 18. Ferris C.J. and Panhuis M.I.H., Conducting Bio-materials based on Gellan Gum Hydrogels, *Soft Mater.*, **5**, 3430-3437, 2009.
 19. Yetimoglu E.K., Kahraman M.V., ErcanÖ., Akdemir Z.S., and Apohan K.N., N-Vinylpyrrolidone/Acrylic Acid/2-Acrylamido-2-methylpropane Sulfonic Acid based Hydrogels: Synthesis, Characterization and their Application in the Removal of Heavy Metals, *React. Funct. Polym.*, **67**, 451-460, 2007.
 20. Pekel N. and Güven O., Separation of Heavy Metal Ions by Complexation on Poly(N-vinyl imidazole) Hydrogels, *Polym. Bull.*, **51**, 307-414, 2004.
 21. Kara A., Uzun L., Besirli N., and Denizli A., Poly(ethylene glycol dimethacrylate-n-vinyl imidazole) beads for Heavy Metal Removal, *J. Hazard. Mater.*, **106B**, 93-99, 2004.
 22. Omidian H., Hashemi S.A., Sammes P.G., and Meldrum I., A Model for the Swelling of Superabsorbent Polymers, *Polymer*, **39**, 6697-6704, 1998.
 23. Ramazani-Harandi M.J., Zohuriaan-Mehr M.J., Yousefi A.A., Ersad-Langroudi A., and Kabiri K., Rheological Determination of the Swollen Gel Strength of Superabsorbent Polymer Hydrogels, *Polym. Test.*, **25**, 470-474, 2006.